

ベイズ統計の枠組みと解釈について

黒木玄

2019-09-16~2019-09-23

- 2019年9月17日(火)午後
- 東北大学大学院理学研究科・理学部 青葉山キャンパス
- 合同棟B棟10階1023号室 物理のセミナー

このJupyterノートブックは次の場所で閲覧できる:

- [Jupyterノートブックとして閲覧](https://nbviewer.jupyter.org/github/genkuroki/Statistics/blob/master/Introduction%20to%20Bayesian%20Statistics.ipynb)
(<https://nbviewer.jupyter.org/github/genkuroki/Statistics/blob/master/Introduction%20to%20Bayesian%20Statistics.ipynb>)

さらに, RISEのスライドモードでも閲覧可能である:

- [スライドモードで閲覧](https://nbviewer.jupyter.org/format/slides/github/genkuroki/Statistics/blob/master/Introduction%20to%20Bayesian%20Statistics.ipyn)
(<https://nbviewer.jupyter.org/format/slides/github/genkuroki/Statistics/blob/master/Introduction%20to%20Bayesian%20Statistics.ipyn>)

PDF版が以下の場所にある:

- [ベイズ統計の枠組みと解釈について PDF版](https://genkuroki.github.io/documents/Statistics/Introduction%20to%20Bayesian%20Statistics.pdf)
(<https://genkuroki.github.io/documents/Statistics/Introduction%20to%20Bayesian%20Statistics.pdf>)

次の手書きのノートも参照せよ:

- [ベイズ統計に関する手書きのノート PDF](https://genkuroki.github.io/documents/2019-09-03_BayesianStatistics.pdf) (https://genkuroki.github.io/documents/2019-09-03_BayesianStatistics.pdf)

要約:

(1) ベイズ統計の数学的枠組みは統計力学と極めて似ている. 分配関数とその対数(の $-1/\beta$ 倍)の自由エネルギーはベイズ統計でも本質的な役割を果たす. ベイズ統計に逆温度を導入することもできて, 物理的直観がそのまま適用可能である.

(2) 統計学としてのベイズ統計の解釈には混乱の歴史がある. 確率概念に関する混乱があったと言ってもよい. その混乱は, 数学的モデル内部での確率と現実での確率を明瞭に区別すれば取り除かれる.

初歩的な確率論と統計学の復習から始めて丁寧に議論を進めたい.

できる限り, 内容を入門的なものに限定し, 技術的に難しい話はしない予定である.

注意: 確率密度関数のことを確率分布と呼ぶ用語の濫用を行うので注意せよ.

目次

1 確率論入門

- 1.1 三種の神器
- 1.2 3つ目の三種の神器: Sanovの定理
- 1.3 有限集合上の確率分布に関するSanovの定理の証明
- 1.4 Sanovの定理の使い方
- 1.5 脱線: カノニカル分布の導出
- 1.6 脱線続き: カノニカル分布の条件付き確率分布としての出現

2 統計学入門

- 2.1 統計学の基本問題
- 2.2 パラメトリック統計
- 2.3 尤度
- 2.4 尤度(続き)
- 2.5 尤度(続きの続き)
- 2.6 笑: an information criterion
- 2.7 最尤法
- 2.8 例: 正規分布モデルによる最尤法
- 2.9 最尤法と物理の類似
- 2.10 尤度関数は推定の収束の様子の情報を持っている

- [2.11 例：正規分布モデルの尤度関数](#)
- [2.12 例：ガンマ分布モデルの尤度関数](#)

3 Bayes統計の定式化

- [3.1 Bayes統計の定式化の概略](#)
- [3.2 Bayes統計の定式化の詳細 \(1\) 仮想世界の設定](#)
- [3.3 Bayes統計の定式化の詳細 \(2\) 条件付き確率分布を考える](#)
- [3.4 Bayes統計の定式化の詳細 \(3\) 予測分布の定義](#)
- [3.5 Bayesの定理は必須ではない](#)
- [3.6 笑: ベイズの定理はベイズ統計ではない](#)
- [3.7 事後分布](#)
- [3.8 おすすめのベイズ統計入門](#)

4 Bayes統計の情報量規準

- [4.1 Bayes統計における2種類の汎化誤差](#)
- [4.2 \(1\)型情報量規準: 自由エネルギー](#)
 - [4.2.1 自由エネルギーと\(1\)型汎化誤差の関係](#)
 - [4.2.2 自由エネルギーの漸近挙動](#)
 - [4.2.3 自由エネルギーは情報量規準として利用可能](#)
 - [4.2.4 正則モデルの場合](#)
 - [4.2.5 自由エネルギーに関する結論](#)
 - [4.2.6 自由エネルギーの漸近挙動の証明法](#)
- [4.3 \(2\)型情報量規準: 予測分布の汎化誤差の推定量](#)
 - [4.3.1 学習誤差と過学習の定義](#)
 - [4.3.2 汎函数分散の定義](#)
 - [4.3.3 WAIC \(widely applicable information criterion\)](#)
 - [4.3.4 LOOCV \(leave-one-out cross validation, 1個抜き出し交差検証\)](#)
 - [4.3.5 \(2\)型情報量規準と汎化誤差の逆相関](#)

5 Bayes統計の計算例

In [1]:

```
1 using Base64
2 displayfile(mime, file; tag="img") = open(file) do f
3     display("text/html", "<tag src='data:$mime;base64,$(base64encode(f))'>")
4 end
5
6 using Distributions
7 using Statistics
8 using StatsBase
9
10 using StatsPlots
11 using Plots
12 default(size=(400, 250), titlefontsize=10)
13 pyplot(fmt=:svg)
14 PyPlot_clf() = if backend() == Plots.PyPlotBackend() PyPlot.clf() end
15
16 using Random
17 using QuadGK
18 using SpecialFunctions
```

1 確率論入門

1.1 三種の神器

平均と有限の分散を持つ確率分布 $p(x)$ が任意に与えられていて, X_1, X_2, X_3, \dots は各々の確率分布が $p(x)$ であるような独立同分布確率変数列 (independent and identically distributed, i.i.d.) であるとする (例: サイコロの目の列).

このとき, X_1, X_2, \dots, X_n を母集団分布 $p(x)$ のサイズ n のサンプルと呼ぶ.

$\mu = E[X_k], \sigma^2 = E[(X_k - \mu)^2]$ とおく.

(1) 大数の法則: $\frac{X_1 + \dots + X_n}{n} \rightarrow \mu$.

(2) 中心極限定理: $\mu = 0, \sigma = 1$ と仮定する. このとき,

$$E \left[f \left(\frac{X_1 + \dots + X_n}{\sqrt{n}} \right) \right] \rightarrow \int_{\mathbb{R}} f(x) \frac{e^{-x^2/2}}{\sqrt{2\pi}} dx$$

注意: $Y_k = (X_k - \mu)/\sigma$ とおくと, Y_k は平均 0, 分散 1 になる. \square

1.2 3つ目の三種の神器: Sanovの定理

(3) Sanovの定理: 確率分布 $q(x)$ について,

$(X_1, X_2, \dots, X_n$ が確率分布 $q(x)$ のサンプルに見える確率) $= \exp(-nD(q||p) + o(n))$.

ただし, $D(q||p)$ はKullback-Leibler情報量である:

$$D(q||p) = \int q(x) \log \frac{q(x)}{p(x)} dx = G(q||p) - S(q).$$

ここで

$$G(q||p) = \int q(x)(-\log p(x)) dx, \quad S(q) = G(q||q)$$

はそれぞれ予測分布 $p(x)$ による分布 $q(x)$ の予測の汎化誤差 (generalization error) と呼ばれ, $S(q)$ は分布 q のShannon情報量と呼ばれる.

Sanovの定理の意味: 確率分布 $p(x)$ に従う乱数列 X_1, X_2, \dots, X_n で確率分布 $q(x)$ のシミュレーションを行うとき, そのシミュレーションが $q(x)$ からずれていることが明瞭にならずに済む確率が n について指数函数的に減少し, その減少の速さがKullback-Leibler情報量になっている. \square

これは, KL情報量 $D(q||p)$ を分布 p による分布 q のシミュレーションの予測誤差とみなせることを意味している.

函数 $x \log x$ にJensenの不等式を適用することによって, KL情報量の正値性 $D(q||p) \geq 0$ を容易に証明でき, その他にも多くの良い性質が知られている.

大数の法則と中心極限定理については以下のリンク先を参照せよ:

- 確率論入門 (<https://genkuroki.github.io/documents/IntroProbability.pdf>)

Sanovの定理については以下のリンク先を参照せよ:

- Kullback-Leibler情報量と記述統計 (<https://nbviewer.jupyter.org/github/genkuroki/Statistics/blob/master/KL%20information%20and%20descriptive%20statistics.ipynb>)
- Kullback-Leibler情報量とSanovの定理 (<https://genkuroki.github.io/documents/20160616KullbackLeibler.pdf>)

情報量とエントロピー:

(1) KL情報量 $D(q||p)$ の -1 倍は相対エントロピーと呼ばれることがある.

(2) KL情報量最小化は相対エントロピー最大化と同じ.

(3) 大雑把に言って, $\log(\text{確率}) = (\text{エントロピー}) = -(\text{情報量})$ と考えるとよい.

(4) 汎化誤差の定義は, 確率密度の対数の -1 倍 $-\log p(x)$ の分布 $q(x)$ に関する平均なので, 分布 $q(x)$ における分布 $p(x)$ の平均情報量というようなものになっていることになる. \square

1.3 有限集合上の確率分布に関するSanovの定理の証明

確率 p_i で $i = 1, 2, \dots, r$ の目が出るサイコロを考える. q_i は集合 $\{1, 2, \dots, r\}$ 上の任意の確率分布であるとする (0 以上で総和が 1).

このとき, n 回サイコロをふって $i = 1, 2, \dots, n$ の目が k_i 回出る確率は多項分布の確率

$$\frac{n!}{k_1! \dots k_r!} p_1^{k_1} \dots p_r^{k_r}$$

になる. そのような出目がまるで確率分布 q_i に従っているように見えることは $k_i \approx nq_i$ が成立することだと解釈される. そこで, 多項分布の確率の式の k_i に nq_i を代入して, さらに階乗にStirlingの近似公式を適用すると, 上の確率は次のように書き直される:

$$\frac{1}{\sqrt{(2\pi)^{r-1} q_1 \dots q_r}} \exp\left(-n \sum_{i=1}^r q_i \log \frac{p_i}{q_i}\right) = \exp\left(-n \sum_{i=1}^r q_i \log \frac{p_i}{q_i} + o(n)\right).$$

これで有限集合上の確率分布に関するSanovの定理を証明できたことになる.

一般の場合はこの「連続極限」として得られると考えてもよい。

1.4 Sanovの定理の使い方

Sanovの定理によって、KL情報量 $D(q||p)$ はモデルの分布 p による分布 q のシミュレーションにおける予測誤差とみなせるのであった。ゆえに、ある特定の確率分布の集合の中から分布 q を最もよくシミュレートする分布を見付けるためには、KL情報量を最小化する分布 p をその特定の集合の中で見付けられればよい。

さらに、KL情報量 $D(q||p)$ は汎化誤差 $G(q||p)$ とShannon情報量 $S(q)$ の差に等しいのであった:

$$\begin{aligned} D(q||p) &= G(q||p) - S(q), \\ G(q||p) &= \int q(x)(-\log p(x)) dx, \\ S(q) &= G(q||q). \end{aligned}$$

$S(q)$ は p によらないので、予測誤差を最小化するためには p を適当に動かして汎化誤差 $G(q||p)$ を最小化すればよい。

統計学の状況ではKL情報量を直接近似している推定量を作ることは困難だが、汎化誤差の方であればそれを近似していると期待される推定量を作ることができる。だから、予測誤差を小さくするためには汎化誤差を小さくすれば十分であることは実用上において重要な注意だということになる。

1.5 脱線: カノニカル分布の導出

固定された分布 $p(x)$ に対して、

$$\int q(x)f_i(x) dx = c_i \quad (i = 1, 2, \dots, r) \quad (*)$$

を満たす分布 $q(x)$ でKL情報量 $D(q||p)$ を最小にするものをLagrange未定乗数法で計算すると

$$q(x) = \frac{1}{Z} \exp\left(-\sum_{i=1}^r \beta_i f_i(x)\right) p(x), \quad Z = \int \exp\left(-\sum_{i=1}^r \beta_i f_i(x)\right) p(x) dx$$

がその解であることがわかる。ただし、 β_i 達は上の条件(*)で決まるものとする。

注意: 統計力学の教科書におけるカノニカル分布の導出の方が、事前分布 $p(x)$ 入りの場合を扱っていることを除けば、KL情報量を用いたカノニカル分布の導出よりも一般的である。以上に関するより詳しい解説が『[Kullback-Leibler情報量とSanovの定理](https://genkuroki.github.io/documents/20160616KullbackLeibler.pdf) (<https://genkuroki.github.io/documents/20160616KullbackLeibler.pdf>)』にある。□

1.6 脱線続き: カノニカル分布の条件付き確率分布としての出現

事前分布 $p(x)$ を母集団分布とするときのサンプル X_1, X_2, \dots, X_n の分布を

$$\frac{1}{n} \sum_{k=1}^n f(X_k) = c_i \quad (i = 1, 2, \dots, r) \quad (\#)$$

という条件で制限した条件付き確率分布における代表 X_1 の分布は $n \rightarrow \infty$ の極限は次のカノニカル分布に収束する:

$$q(x) = \frac{1}{Z} \exp\left(-\sum_{i=1}^r \beta_i f_i(x)\right) p(x), \quad Z = \int \exp\left(-\sum_{i=1}^r \beta_i f_i(x)\right) p(x) dx.$$

ただし、 β_i 達は前節の条件(*)で決まるものとする。条件(*)の再掲:

$$\int q(x)f_i(x) dx = c_i \quad (i = 1, 2, \dots, r) \quad (*)$$

実際には条件(#)は適切な向きの不等式で与えることになる。以上の説明はその点が厳密ではない。しかし、 $n \rightarrow \infty$ で不等式で定義された条件付き確率分布は等式の条件(#)を満たす場合の近くに集中して行くので、以上の厳密でない説明に大きな間違いはない。

以上に関するより詳しい解説も『[Kullback-Leibler情報量とSanovの定理](https://genkuroki.github.io/documents/20160616KullbackLeibler.pdf) (<https://genkuroki.github.io/documents/20160616KullbackLeibler.pdf>)』にある。そのノートに書いてある解説は英語で検索してもなかなか見付からないので、もしかしたら貴重な解説になっているかもしれない。

2 統計学入門

2.1 統計学の基本問題

以下では, X_1, X_2, \dots, X_n は未知の母集団分布 $q(x)$ のサンプル(i.i.d.)であると仮定する.

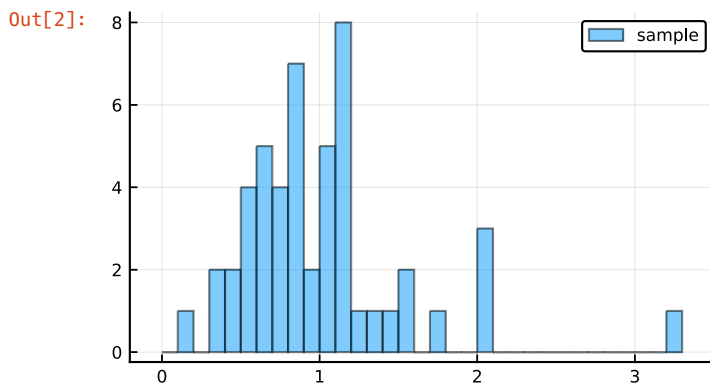
基本問題: サンプル X_1, X_2, \dots, X_n のみから母集団分布 $q(x)$ についてどれだけのよう推測できるか? \square

例: 未知の母集団分布 $q(x)$ のサイズ $n = 50$ のサンプル

```
1.1, 1.45, 0.93, 2.01, 0.13, 1.78, 1.07, 0.75, 0.48, 0.64,
0.81, 1.13, 0.89, 1.39, 0.69, 0.57, 3.22, 1.18, 2.03, 0.85,
1.08, 0.96, 1.1, 0.81, 1.19, 1.09, 1.51, 1.01, 0.54, 0.84,
1.06, 0.33, 1.14, 0.67, 1.57, 0.88, 0.48, 0.78, 0.38, 0.82,
0.53, 0.52, 1.18, 0.67, 2.01, 1.14, 0.71, 0.69, 1.24, 0.72
```

が得られたとする. このサンプルのヒストグラムは以下の通り.

```
In [2]: 1 X = [1.1, 1.45, 0.93, 2.01, 0.13, 1.78, 1.07, 0.75, 0.48, 0.64, 0.81, 1.13, 0.89, 1.39, 0.69, 0.57, 3.22,
          1.18, 2.03, 0.85, 1.08, 0.96, 1.1, 0.81, 1.19, 1.09, 1.51, 1.01, 0.54, 0.84, 1.06, 0.33, 1.14, 0.67, 1.57,
          0.88, 0.48, 0.78, 0.38, 0.82, 0.53, 0.52, 1.18, 0.67, 2.01, 1.14, 0.71, 0.69, 1.24, 0.72]
          2 histogram(X; bins=range(0, 3.3, step=0.1), alpha=0.5, label="sample")
```



実はこれはパラメーター $(\alpha, \theta) = (4, 1/4)$ のガンマ分布を母集団分布とするサンプルをコンピューターの擬似乱数で生成したものである(ただし小数点以下2桁までに丸めた).

その母集団分布の平均と分散はそれぞれ 1, 0.25 になる(標準偏差は 0.5).

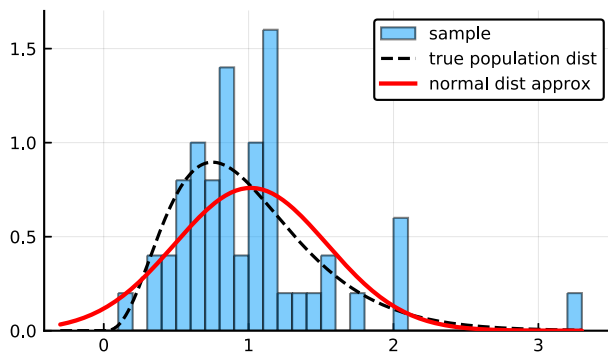
上のサンプルの平均と分散(不偏分散ではなく単なる分散)はそれぞれ 1.015, 0.276 程度になる. 上のヒストグラムを見れば, この母集団分布はそれらを平均と分散とする正規分布で近似されるのではないだろうかと思う人がいても不思議ではないと思われる. 上のヒストグラムとその正規分布を重ねてプロットしてみよう.

```
In [3]: 1 function fit_mle_and_plot(X, model, model_str; x = range(0, 3.3, length=200))
          2     dist_mle = fit_mle(model, X)
          3     f(x) = pdf(dist_mle, x)
          4     AIC = -2sum(logpdf.(dist_mle, X)) + 2length(params(dist_mle))
          5     histogram(X; bins=range(0, 3.3, step=0.1), alpha=0.5, ylim=(0, 1.7), label="sample", norm=true)
          6     plot!(x, pdf.(Gamma(4, 0.25), x), label="true population dist", lw=1.5, ls=:dash, color=:black)
          7     plot!(x, f.(x), label="$model_str dist approx", lw=2, color=:red)
          8     title!("$model_str dist model: AIC = $(round(AIC, digits=2))")
          9     end
```

Out[3]: fit_mle_and_plot (generic function with 1 method)

```
In [4]: 1 fit_mle_and_plot(X, Normal, "normal"; x = range(-0.3, 3.3, length=200))
```

Out[4]: normal dist model: AIC = 81.53

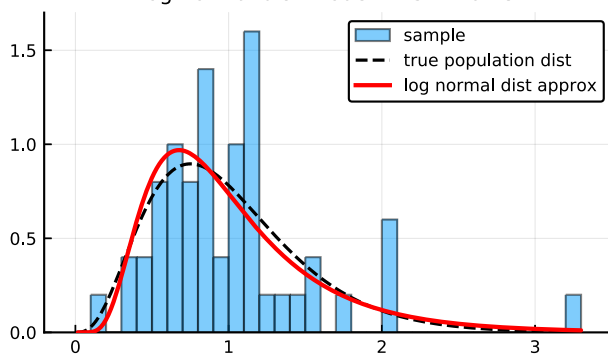


別の人は「この分布は正直なので対数正規分布に違いない」と思うかもしれない。

その人は次のようなプロットを作成するだろう。

```
In [5]: 1 fit_mle_and_plot(X, LogNormal, "log normal"; x = range(0, 3.3, length=200))
```

Out[5]: log normal dist model: AIC = 70.13



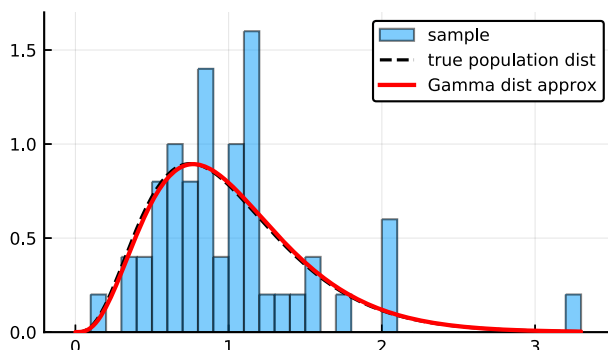
対数正規分布だと思った人は正規分布だと思った人よりはずっと正確な予測分布を得ている。

しかし、実際には真の母集団分布はガンマ分布である。

ある人が特別な神眼によって「これはガンマ分布だ！」と見抜いたとしよう。その人は次のようにプロットするだろう。

```
In [6]: 1 fit_mle_and_plot(X, Gamma, "Gamma"; x = range(0, 3.3, length=200))
```

Out[6]: Gamma dist model: AIC = 67.91



さすが神眼！ 予測分布(赤線)と真の母集団分布(黒の点線)がぴったり一致している！（笑）

現実にはこのような神眼をはっきできることはまれであり、真の母集団分布は名前が付けられていないわけのわからない分布かもしれない。

母集団分布 $q(x)$ が未知の状況でその有限サイズのサンプルが得られているときに、母集団分布を推測することは困難でかつ非常に面白い問題になっていることがよくある。

2.2 パラメトリック統計

未知の母集団分布 $q(x)$ を有限個のパラメーター $w = (w_1, \dots, w_d)$ を持つ確率分布 $p(x|w)$ を使って推測する状況をパラメトリックの場合と呼ぶ。

以下では簡単のためパラメトリック統計の場合のみを扱う。

$p(x|w)$ の形の分布で $q(x)$ を最もよくシミュレートするものは、汎化誤差

$$G(w) = G(q||p(\cdot|w)) = \int q(x)(-\log p(x|w)) dx$$

を最小化する $w = w_0$ に対する $p_0(x) = p(x|w_0)$ になる。

(以下ではずっと、記号 w_0 をこの意味で用いる。)

しかし、汎化誤差は未知の母集団分布 $q(x)$ を使って計算される量なので、汎化誤差を直接最小化することは不可能である。

2.3 尤度

尤度は「いぬど」と読む。

2.4 尤度(続き)

尤度は「いぬど」と読むというのは、もちろんウソである。

尤度は「ゆうど」と読む。英語では likelihood で意味的には「もっともらしさ」である。

しかし、実際には後述するようにモデルのサンプルへの確率的な適合度だとみなす方が正しい。

2.5 尤度(続きの続き)

X_1, X_2, \dots, X_n は未知の母集団分布 $q(x)$ のサンプル(i.i.d.)であった。すなわち、 (X_1, \dots, X_n) の分布は確率密度関数

$$(x_1, \dots, x_n) \mapsto q(x_1) \cdots q(x_n)$$

を持つ。パラメーター w の函数

$$w \mapsto p(X_1|w)p(X_2|w) \cdots p(X_n|w)$$

をサンプル X_1, \dots, X_n に関するモデル $p(x|w)$ の尤度 (ゆうど、尤もらしさ, likelihood) の函数と呼ばれる。

仮にモデル $p(x|w)$ がサンプルを生成した母集団分布であるならば、サンプルの分布の確率密度関数は

$$(x_1, \dots, x_n) \mapsto p(x_1|w) \cdots p(x_n|w)$$

になる。ゆえに、尤度は「もっともらしさ」を意味するとよく説明されているが、実際には単に

- モデル $p(x|w)$ にしたがう独立試行で偶然にサンプル X_1, \dots, X_n が生成される確率(密度)

に過ぎないことがわかる。すなわち、尤度はモデルのサンプルへの確率的な適合度を意味しているとみなされる。

我々が欲しいのはサンプルに適合した分布ではなく、未知の母集団分布に適合した分布であるので、この注意は重要である(過学習の問題)。

尤度の概念に関する詳しい説明については以下の2つの論説を参照せよ:

- 赤池弘次, 統計的推論のパラダイムの変遷について (https://ismrepo.ism.ac.jp/?action=pages_view_main&active_action=repository_view_main_item_detail&item_id=32568&item_no=1&page_id=13&block_id=21) 統計数理研究所彙報, 第27巻1号, pp.5-12, 1980-03
- 赤池弘次, エントロピーとモデルの尤度(〈講座〉物理学周辺の確率統計) (https://www.jstage.jst.go.jp/article/butsuri1946/35/7/35_7_608/article/-char/ja/), 日本物理学会誌, 1980年35巻7号, pp.608-614

2.6 笑: an information criterion

以下の画像は

- 赤池弘次, エントロピーとモデルの尤度(〈講座〉物理学周辺の確率統計)
(https://www.jstage.jst.go.jp/article/butsuri1946/35/7/35_7_608/article/-char/ja/), 日本物理学会誌, 1980年35巻7号, pp.608-614

より:

る評価を与えることがわかる。筆者によって導入されたこの統計量は **AIC (an information criterion** の略記*)と呼ばれ, 最尤法によって決定されたモデルの悪さの評価を与える.¹⁾ 標語的に書けば

$$\text{AIC} = (-2) \ln(\text{maximum likelihood}) + 2(\text{number of parameters})$$

となる。

* 一般には **Akaike's information criterion** の略と解されている。
(会誌編集委員会)

2.7 最尤法

大数の法則より, 尤度函数の対数の $-1/n$ 倍 $L_n(w)$ は $n \rightarrow \infty$ でモデル $p(x|w)$ の汎化誤差 $G(w)$ に収束する:

$$L_n(w) = \frac{1}{n} \sum_{k=1}^n (-\log p(X_k|w)) \rightarrow G(w) = \int q(x)(-\log p(x|w)) dx.$$

すなわち, 尤度函数の対数の $-1/n$ 倍 $L_n(w)$ は汎化誤差 $G(w)$ の一致推定量になっている。

我々が欲しいのは汎化誤差を最小化する $w = w_0$ であるが, その代わりに $L_n(w)$ を最小化すること(=尤度函数の最大化)によってパラメーター $w = \hat{w}$ を決めて, 予測分布を $p(x|\hat{w})$ とする手続きを最尤法と呼ぶ。

2.8 例：正規分布モデルによる最尤法

モデル $p(x|w)$ が以下の正規分布モデルの場合を考える:

$$p(x|\mu, \sigma^2) = \frac{1}{\sqrt{2\pi\sigma^2}} e^{-(x-\mu)^2/(2\sigma^2)}.$$

このとき, 母集団分布 $q(x)$ の平均と分散をそれぞれ μ_0, σ_0^2 と書き, サンプル X_1, \dots, X_n の平均と分散をそれぞれ \bar{X}, S^2 と書く:

$$\begin{aligned}\mu_0 &= \int q(x)x dx, \\ \sigma_0^2 &= \int q(x)(x - \mu_0)^2 dx = \int q(x)x^2 dx - \mu_0^2, \\ \bar{X} &= \frac{1}{n} \sum_{k=1}^n X_k, \\ S^2 &= \frac{1}{n} \sum_{k=1}^n (X_k - \bar{X})^2 = \frac{1}{n} \sum_{k=1}^n X_k^2 - \bar{X}^2.\end{aligned}$$

このとき, 汎化誤差と対数尤度函数の $-1/n$ 倍はそれぞれ以下のように計算される(大学1年生レベル):

$$\begin{aligned}2G(\mu, \sigma) &= \log(2\pi) + \log \sigma^2 + \frac{\sigma_0^2 + (\mu - \mu_0)^2}{\sigma^2}, \\ 2L_n(\mu, \sigma) &= \log(2\pi) + \log \sigma^2 + \frac{S^2 + (\mu - \bar{X})^2}{\sigma^2}.\end{aligned}$$

ゆえに,

- 汎化誤差 $G(\mu, \sigma^2)$ を最小化することは $(\mu, \sigma^2) = (\mu_0, \sigma_0^2)$ (正規分布モデルの平均と分散が母集団分布のそれらに等しくなること)と同値である。
- 尤度関数の対数の $-1/n$ 倍 $L_n(\mu, \sigma^2)$ を最小化すること(=尤度を最大化すること)は $(\mu, \sigma^2) = (\bar{X}, S^2)$ (正規分布モデルの平均と分散がサンプルのそれらに等しくなること)と同値である。

このように、正規分布の中で分布 $q(x)$ を最もよく予測するものは、分布 $q(x)$ と同じ平均と分散を持つ正規分布になる。

さらに、正規分布モデルの最尤法はサンプルの平均と分散を計算する記述統計と本質的に同じである。

さらに大数の法則より、 $n \rightarrow \infty$ のとき、 $\bar{X} \rightarrow \mu_0$ 、 $S^2 \rightarrow \sigma_0^2$ となるので、サンプルサイズ n を大きくする極限で最尤法の予測分布は正規分布の中で分布 $q(x)$ をもっともよく予測するものに収束してくれる。

このように平均と分散の統計学は正規分布モデルの統計学だと言ってよい。

他の例が『[Kullback-Leibler情報量と記述統計](https://nbviewer.jupyter.org/github/genkuroki/Statistics/blob/master/KL%20information%20and%20descriptive%20statistics.ipynb)

(<https://nbviewer.jupyter.org/github/genkuroki/Statistics/blob/master/KL%20information%20and%20descriptive%20statistics.ipynb>)』にある。

例えば、Laplace分布モデルの最尤法がサンプルの中央値と中央値まで距離の平均の記述統計と本質的に同じことを示せる。

このように、簡単なモデル(指数型分布族)の最尤法は本質的にサンプルの記述統計を行っているときみなされる(十分統計量の理論)。

2.9 最尤法と物理の類似

最尤法は対数尤度関数の $-1/n$ 倍

$$L_n(w) = \frac{1}{n} \sum_{k=1}^n (-\log p(X_k | w))$$

の最小化によってモデルのパラメーターを決定する方法であった。

対数尤度関数の -1 倍 $nL_n(w)$ は物理におけるHamiltonianの類似物であり、最尤法の解 $w = \hat{w}$ は基底状態の類似物だとみなせる。

ただし、対数尤度関数の -1 倍 $nL_n(w)$ の中には母集団分布に従う確率変数達 X_k が含まれており、ランダムに決まるHamiltonianとみなさなければいけない。

さらに統計学では $n \rightarrow \infty$ で推定値が最良値に近付いて欲しいという要求がある。統計学では $n \rightarrow \infty$ における各種統計量の漸近挙動を調べることを漸近論と呼ぶ。

これの物理的類似は、自由度 n のランダムな系とカップルしているせいで確率的に揺らいでいるHamiltonianが $n \rightarrow \infty$ でどのように振る舞うかを考えることである。

統計学における対数尤度関数の -1 倍をランダムHamiltonianとみなす見方は大変有効であり、Bayes統計は対数尤度関数の -1 倍 $nL_n(w)$ をHamiltonianとするカノニカル分布の統計力学と本質的に同じものであることが(Bayes統計の定義を知っていれば)簡単に分かる。

Bayes統計における事前分布 $\varphi(w)$ と逆温度 β に対する分配関数が次のように定義される:

$$Z_n(\beta) = \int \exp(-\beta nL_n(w)) \varphi(w) dw.$$

Bayes統計では物理的な等確率の原理を仮定しないので事前分布 $\varphi(w)$ の自由度が発生する。通常のBayes統計は逆温度が $\beta = 1$ の場合に相当する。

2.10 尤度関数は推定の収束の様子の情報を持っている

最尤法が有効に使える場合には、サンプルサイズを大きくすると、尤度関数

$$\prod_{k=1}^n p(X_k | w) = \exp(-nL_n(w))$$

のグラフが漸近的に単峰型になり、サンプルサイズを大きくするにつれて尤度関数の山型のグラフの裾野のサイズが小さくなって行くことが知られている。山型の尤度関数のグラフの台の小ささは「推定の収束し具合」を表していると解釈できる。

最尤法では、尤度関数を最大化するパラメーターの値(基底状態)の情報だけを残して、尤度関数を持っている推定の収束し具合の情報をすべて捨ててしまう。だから、最尤法を使う場合には推定の収束し具合の情報も示すために、信頼区間などを別に計算して示すこ

とが多い。これは結構煩雑である。

物理的にも、基底状態の情報だけを残して、ランダムHamiltonian $nL_n(w)$ 全体の情報を捨ててしまうのは不自然過ぎる。

このような不自然さを解消するためにも、ランダムHamiltonian $nL_n(w)$ に関する統計力学(=Bayes統計)を考えることは自然であると考えられる。

2.11 例：正規分布モデルの尤度函数

次の例は『[Kullback-Leibler情報量と記述統計](https://nbviewer.jupyter.org/github/genkuroki/Statistics/blob/master/KL%20information%20and%20descriptive%20statistics.ipynb)』より。

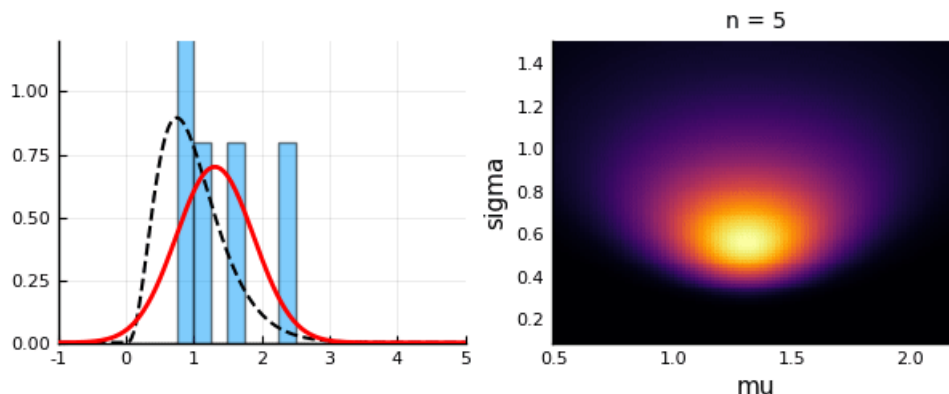
(<https://nbviewer.jupyter.org/github/genkuroki/Statistics/blob/master/KL%20information%20and%20descriptive%20statistics.ipynb>) より。

```
In [7]: 1 # 尤度函数のプロット
2
3 Random.seed!(37346491)
4
5 dist_gamma = Gamma(4.0, 0.25)
6 N = 200
7 XX = rand(dist_gamma, N)
8
9 ns = [5;5;5;5;5; 5:10; 12:2:20; 25:5:N; N;N;N;N;N]
10 @time anim = @animate for n in ns
11     X = @view XX[1:n]
12     x = range(-1, 5, length=200)
13
14     dist_normal_approx_gamma = fit_mle(Normal, X)
15     P1 = histogram(X; normed=true, bins=range(0, 5, step=0.25), alpha=0.5, label="sample")
16     plot!(x, pdf.(dist_gamma, x); label="true dist", lw=1.5, ls=:dash, color=:black)
17     plot!(x, pdf.(dist_normal_approx_gamma, x); label="normal approx", lw=2, color=:red)
18     plot!(legend=false, xlim=(-1, 5), ylim=(0, 1.2))
19
20     loglik(μ, σ) = sum(logpdf(Normal(μ, σ), x) for x in X)
21     μ = range(0.5, 2.2, length=100)
22     σ = range(0.1, 1.5, length=100)
23     P2 = heatmap(μ, σ, exp.(loglik.(μ', σ))); xlabel="mu", ylabel="sigma",
24                 size=(300, 320), colorbar=false, title="n = $n")
25
26     plot(P1, P2, size=(600, 250))
27 end
28 PyPlot.clf()
29 @time gif(anim, "images/lik_normal_for_gamma_sample.gif", fps=5)
30 sleep(0.1)
31 displayfile("image/gif", "images/lik_normal_for_gamma_sample.gif")
```

19.133137 seconds (24.40 M allocations: 930.676 MiB, 2.01% gc time)

0.928641 seconds (1.09 M allocations: 53.821 MiB, 3.14% gc time)

```
Info: Saved animation to
  fn = C:\Users\genkuroki\OneDrive\Statistics\images\lik_normal_for_gamma_sample.gif
  @ Plots C:\Users\genkuroki\julia\packages\Plots\h3o4c\src\animation.jl:95
```



上の動画から以下が観察される:

- 尤度函数のグラフは単峰型であり、その台のサイズはサンプルサイズを大きくすると小さくなり、1点に収束して行く。
- 予測分布はモデルの分布の中でサンプルの母集団分布を最もよく予測するものに収束して行く。
- モデルの分布の中にサンプルの母集団分布をよく近似するものが含まれていなければ予測分布の誤差は大きくなる。

この観察は最尤法がうまく行くケースでは常に成り立っていると考えてよい。

詳しい説明: この動画ではガンマ分布

$$q(x|\alpha, \theta) = \frac{1}{\theta^\alpha \Gamma(\alpha)} e^{-x/\theta} x^{\alpha-1}, \quad (x > 0)$$

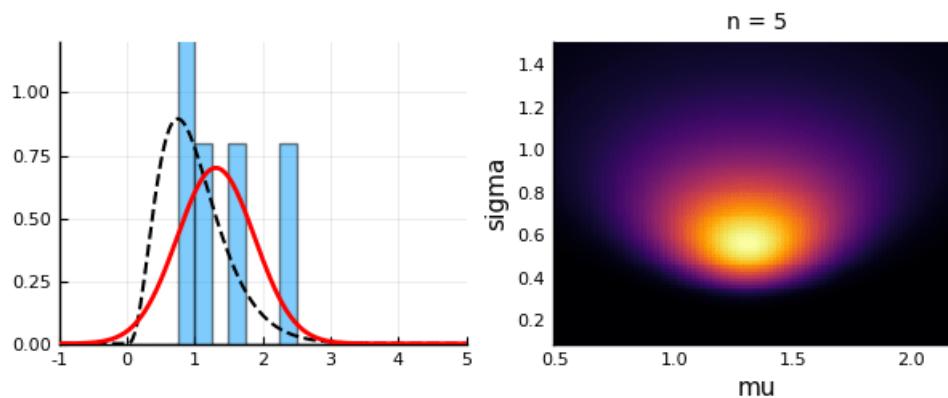
の $(\alpha, \theta) = (4, 0.25)$ の場合を母集団とするサイズ $n = 5, 6 \dots, 300$ のサンプル X_1, \dots, X_n に関する正規分布モデル

$$p(x|\mu, \sigma) = \frac{1}{\sqrt{2\pi}\sigma} e^{-(x-\mu)^2/(2\sigma^2)}$$

の尤度関数

$$(\mu, \sigma) \mapsto \prod_{k=1}^n p(X_k|\mu, \sigma)$$

とこれを最大化する $(\mu, \sigma) = (\hat{\mu}, \hat{\sigma})$ から作った予測分布 $p(x|\hat{\mu}, \hat{\sigma})$ をプロットしている。動画の右半分が尤度関数のプロットであり、左半分のヒストグラムはサンプルのプロット、黒の点線はサンプルを生成したガンマ分布のプロット、赤線は予測分布である。



2.12 例：ガンマ分布モデルの尤度関数

正規分布モデルではなく、真の母集団分布を含むガンマ分布モデルの尤度関数をプロットしてみよう。

```

In [8]: 1 # 尤度関数のプロット
2
3 Random.seed!(37346491)
4
5 dist_gamma = Gamma(4.0, 0.25)
6 N = 200
7 XX = rand(dist_gamma, N)
8
9 ns = [5;5;5;5;5; 5:10; 12:2:20; 25:5:N; N;N;N;N;N]
10 @time anim = @animate for n in ns
11     X = @view XX[1:n]
12     x = range(0, 5, length=200)
13
14     dist_gamma_approx_gamma = fit_mle(Gamma, X)
15     P1 = histogram(X; normed=true, bins=range(0, 5, step=0.25), alpha=0.5, label="sample")
16     plot!(x, pdf.(dist_gamma, x); label="true dist", lw=1.5, ls=:dash, color=:black)
17     plot!(x, pdf.(dist_gamma_approx_gamma, x); label="Gamma approx", lw=2, color=:red)
18     plot!(legend=false, xlim=(0, 5), ylim=(0, 1.2))
19
20     loglik(μ, α) = sum(logpdf(Gamma(α, μ/α), x) for x in X)
21     μ = range(0.5, 2.2, length=100)
22     α = range(0.1, 16, length=100)
23     P2 = heatmap(μ, α, exp.(loglik.(μ', α))); xlabel="mu", ylabel="alpha",
24         size=(300, 320), colorbar=false, title="n = $n")
25
26     plot(P1, P2, size=(600, 250))
27 end
28 PyPlot.clf()
29 @time gif(anim, "images/lik_gamma_for_gamma_sample.gif", fps=5)
30 sleep(0.1)
31 displayfile("image/gif", "images/lik_gamma_for_gamma_sample.gif")

```

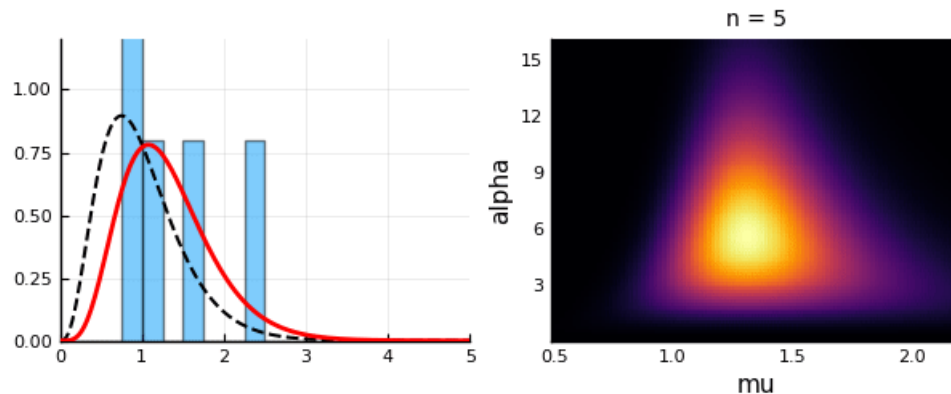
26.479137 seconds (11.49 M allocations: 341.056 MiB, 0.43% gc time)

0.447595 seconds (578 allocations: 53.719 KiB)

Info: Saved animation to

fn = C:\Users\genkuroki\OneDrive\Statistics\images\lik_gamma_for_gamma_sample.gif

@ Plots C:\Users\genkuroki\.julia\packages\Plots\h3o4c\src\animation.jl:95



確かに赤線の予測分布が黒の点線の真の母集団分布に近付いて行っているように見える。

3 Bayes統計の定式化

以下でも, X_1, X_2, \dots, X_n は未知の母集団分布 $q(x)$ のサンプル(i.i.d.)であると仮定する。

基本問題: サンプル X_1, X_2, \dots, X_n のみから母集団分布 $q(x)$ についてどれだけどのように推測できるか? ☐

Bayes統計の目標もこの問題を扱うことだと考えてよい。

未知の母集団 $q(x)$ のサンプル X_1, X_2, \dots, X_n は現実世界で得られたデータとしてのサンプルのモデル化だとみなされる。

3.1 Bayes統計の定式化の概略

Bayes統計では以下のようにして予測分布を作成する:

(1) まず, 分からないことはすべてサイコロをふって決めている仮想的な世界を考える。

(2) そのような仮想世界で偶然に現実世界で得たサンプルと同じサンプルが生成された場合に制限された条件付き確率分布を考える。

(3) そして、その条件付き確率分布のもとで、次に生成される x の分布を予測分布として採用する。

仮想世界で偶然に現実世界で得られたサンプルと同じサンプルが生成された直後に仮想世界で生成される x の分布は現実世界の未知の母集団分布に近付いた分布になっていると期待される。

注意: 我々は母集団分布が分からないからこそ統計学を用いる。Bayes統計では母集団分布のモデルとなる分布がサイコロをふって決められている仮想的な世界を数学的なモデルとして採用する。

しかし、現実世界の母集団分布は確定していると考えられ、サイコロをふって決められているものではないので、そのように設定された数学的仮想世界は非現実的な設定を採用していることになる。

このことがBayes統計の解釈を難しくし、多くの立派な統計学者達が混乱した考え方をするようになった。□

3.2 Bayes統計の定式化の詳細 (1) 仮想世界の設定

仮想世界を決めるデータ:

- d 個のパラメーター $w = (w_1, \dots, w_d)$ を持つ確率分布 $p(x|w)$
- パラメーターに関する確率分布 $\varphi(w)$

$\varphi(w)$ は**事前分布** (prior) と呼ばれることがある。

(1-1) 仮想世界ではパラメーター w は事前分布 $\varphi(w)$ に従ってランダムに決められている。

(1-2) 仮想世界ではそのように決めた w で決まる確率分布 $p(x|w)$ に従う独立試行によって、サンプル x_1, \dots, x_n が生成される。

以上の設定は次のように要約できる: 仮想世界内で生成されるサンプル x_1, \dots, x_n の分布の確率密度関数は

$$Z(x_1, \dots, x_n) = \int \varphi(w)p(x_1|w) \cdots p(x_n|w) dw$$

である。これは逆温度 $\beta = 1$ のBayes統計の分配関数に一致する。

解説: こういう状況を想定していると考えるとわかりやすいかもしれない。

(1-1) 仮想世界ではルーレット φ を回して、出た目 w で別のルーレット p_w を指定する。

(1-2) 次にそのルーレット p_w を n 回まわして、出た目のリスト x_1, \dots, x_n を作る。

Bayes統計で使う仮想世界の数学的モデルは事前分布のルーレット φ と確率モデルのルーレット p_w を与えると決まる。□

3.3 Bayes統計の定式化の詳細 (2) 条件付き確率分布を考える

X_1, X_2, \dots, X_n は未知の母集団分布 $q(x)$ のサンプル(i.i.d.)であると仮定する。

仮想世界内でそれと同じサンプルが偶然生成された場合に制限された条件付き確率分布を考える。

そのような条件付き確率分布における確率密度関数の分母は、仮想世界で偶然に上のサンプルと同じサンプルが生成される確率密度 $Z(X_1, \dots, X_n)$ になる。

3.4 Bayes統計の定式化の詳細 (3) 予測分布の定義

仮想世界内でそれと同じサンプルが偶然生成された場合に制限した条件付き確率分布において、 X_1, \dots, X_n の次に x が生成される確率密度 $p_n^*(x)$ は

$$p_n^*(x) = \frac{Z(X_1, \dots, X_n, x)}{Z(X_1, \dots, X_n)}$$

と表わされる。分母は仮想世界内で X_1, \dots, X_n が生成される確率密度で、分子は仮想世界内で X_1, \dots, X_n, x が生成される確率密度であり、これはまさしく条件付きの確率分布の確率密度関数である。

注意: 予測分布が分配関数で書き下されていることに注意せよ。統計力学では「もしも分配関数さえ計算できれば、他の量は分配関数を使って表わされる」となるようにうまく定式化されているが、Bayes統計でも同様である。しかし、統計力学の場合と同様に、分配関数は特別な場合にのみ具体的な公式を得ることができる。□

3.5 Bayesの定理は必須ではない

以上において、「Bayesの定理」が一切登場していないことに注意せよ。

Bayes統計における「統計学の基本問題」の解答である予測分布はBayesの定理を一切使わずに定義できる。

このことより, Bayes統計において必要なのは条件付き確率分布であり, Bayesの定理ではないことがわかる。

3.6 笑: ベイズの定理はベイズ統計ではない

以下の画像は [Wikipedia: トーマス・ベイズ](https://ja.wikipedia.org/wiki/%E3%83%88%E3%83%BC%E3%83%9E%E3%82%B9%E3%83%BB%E3%83%99%E3%82%A4%E3%82)

(<https://ja.wikipedia.org/wiki/%E3%83%88%E3%83%BC%E3%83%9E%E3%82%B9%E3%83%BB%E3%83%99%E3%82%A4%E3%82>)
にある肖像画に手を入れたもの。「これが実際にベイズを描いているかどうかどうかは疑わしい」らしい。本当は「これはベイズではない」とも書き込んだ方が良かったかもしれない。



補足: ベイズの定理をモンティ・ホール問題に適用したり, 癌検査の偽陽性に問題に應用したりすることは, ベイズ統計ではない。それらは未知の分布を推測するという統計学的な行為を行っているのではなく, すでに分かっている確率分布を使って正しい確率を求めているに過ぎない。□

3.7 事後分布

しかし, 通常Bayesの定理を使って構成される事後分布 $\varphi^*(x)$ にあたるものがないと困るので, 事後分布の公式も導出しておこう。

上の予測分布 $p_n^*(x)$ の定義は次のように書き直される:

$$p_n^*(x) = \int \varphi^*(w) p(x|w) dw,$$

$$\varphi^*(w) = \frac{\varphi(w) p(X_1|w) \cdots p(X_n|w)}{Z(X_1, \dots, X_n)}.$$

この $\varphi^*(w)$ を**事後分布**(posterior)と呼ぶ。

仮想世界内で現実の母集団から得られたサンプルと同じサンプルが偶然生成された場合のみを考えれば、その仮想世界内におけるパラメーター w は現実の母集団から得られたサンプルと同じサンプルが生成され易いものに確率的に偏るはずである。そのようにして偏った結果のパラメーター w の分布が事後分布である。

注意: Bayesの定理は条件付き確率の定義の自明な書き直しに過ぎない「定理」と呼ぶべき価値がどこにあるのかよくわからない結果なので、特別に式してなくてもBayesの定理を使った事後分布の公式

$$\varphi^*(w) = \frac{\varphi(w)p(X_1|w) \cdots p(X_n|w)}{\int \varphi(w)p(X_1|w) \cdots p(X_n|w) dw}$$

が得られている。Bayesの定理を知らない人はこの注意が何を言っているのか理解できないかもしれないが、Bayesの定理を知らなくても、Bayes統計を理解可能なので気にする必要はない。□

注意: $p(x|w)$ が指数型分布族ならば分配関数 $Z(X_1, \dots, X_n)$ を具体的な式で書き下せるが、一般には無理である。コンピューターを使った数値計算も結構大変である。分母の分配関数の数値計算が難しい。しかし、事後分布のサンプルにあたる擬似乱数列を関数 $\varphi(w)p(X_1|w) \cdots p(X_n|w)$ のデータのみから生成する **Markov連鎖Monte Carlo法** (MCMC) で作ったり、平均場近似と同じ手法を使った**変分推論**などの事後分布の近似計算法のパッケージが作られ利用されている。

目的ごとに実用的に十分な近似計算法を見付けるとい問題はテクニカルだが非常に面白い問題である。

最初に宣言したようにこのノートではテクニカルな話題の詳細には触れない。□

3.8 おすすめのベイズ統計入門

- 渡辺澄夫, ベイズ統計の理論と方法, 2012-03-01. ([Amazon \(https://www.amazon.co.jp/dp/4339024627\)](https://www.amazon.co.jp/dp/4339024627))
- 渡辺澄夫さんのウェブサイト: [渡辺澄夫 \(http://watanabe-www.math.dis.titech.ac.jp/users/swatanab/index-j.html\)](http://watanabe-www.math.dis.titech.ac.jp/users/swatanab/index-j.html) (特に「[ベイズ統計入門 \(http://watanabe-www.math.dis.titech.ac.jp/users/swatanab/joho-gakushu6.html\)](http://watanabe-www.math.dis.titech.ac.jp/users/swatanab/joho-gakushu6.html)」が非常によい)
- 林直輝, [ベイズ統計学の概論的紹介 \(https://www.slideshare.net/naokihayashi714/ss-161469671\)](https://www.slideshare.net/naokihayashi714/ss-161469671), 2019-08-06
- 須山敦志, ベイズ推論による機械学習, 2017-10-21 ([Amazon \(https://www.amazon.co.jp/dp/4061538322\)](https://www.amazon.co.jp/dp/4061538322))
- 須山敦志, ベイズ深層学習, 2019-08-08 ([Amazon \(https://www.amazon.co.jp/dp/4065168708\)](https://www.amazon.co.jp/dp/4065168708))
- 須山敦志さんのブログ: [作って遊ぶ機械学習。 \(http://machine-learning.hatenablog.com/\)](http://machine-learning.hatenablog.com/)
- 須山敦志さんのGitHubリポジトリ: [sammy-suyama \(Sammy\)/ Repositories \(https://github.com/sammy-suyama?tab=repositories\)](https://github.com/sammy-suyama)
- 松浦健太郎さんのブログ: [StatModeling Memorandum \(http://statmodeling.hatenablog.com\)](http://statmodeling.hatenablog.com/)

4 Bayes統計の情報量規準

再度、統計学の基本問題に戻ろう。以下では、 X_1, X_2, \dots, X_n は未知の母集団分布 $q(x)$ のサンプル(i.i.d.)であると仮定する。

基本問題: サンプル X_1, X_2, \dots, X_n のみから母集団分布 $q(x)$ についてどれだけどのように推測できるか?

我々は最尤法やBayes統計の方法によって未知の母集団分布の予測分布をサンプルから作る方法を得た。

問題は、最尤法にしてもBayes統計の方法にしても、推定の出発点になる設定には無限に選択肢が存在することである。

複数の異なるモデルで異なる予測分布を得たときに、母集団分布をカンニングすることなく、そのサンプルだけを用いて、それらの優劣を判断する方法がなければいけない。それが情報量規準である。

適切に情報量規準を構成してその大小を比較することによって、情報量規準がより小さいモデルもしくは予測分布の方が優れていると推測可能になる。(注意: あくまで推測であり、確率的に正しい選択に失敗することがある。しかし、たとえ確率的に失敗する可能性があっても、客観的な規準が得られることは非常に大事なことだと思われる。)

4.1 Bayes統計における2種類の汎化誤差

Bayes統計においてはモデルにおける2種類の確率分布に関する汎化誤差を考えることができる。

(1) 仮想世界におけるサンプル生成の確率分布 $Z_n = Z(x_1, \dots, x_n)$ による母集団分布によるサンプル生成の確率分布 $Q_n = q(x_1) \cdots q(x_n)$ の予測に関する汎化誤差:

$$G(Q_n || Z_n) = \int \cdots \int q(x_1) \cdots q(x_n) (-\log Z(x_1, \dots, x_n)) dx_1 \cdots dx_n.$$

(2) 予測分布 $p_n^*(x)$ による母集団分布 $q(x)$ の予測に関する汎化誤差:

$$G_n = G(q || p_n^*) = \int q(x) (-\log p_n^*(x)) dx.$$

仮想世界におけるサンプル生成の確率分布 Z_n の汎化誤差 $G(Q_n||Z_n)$ の大小によって、仮想世界の設定が母集団分布の状況を相対的にどれだけよくシミュレートしているかを判定できる。

予測分布 $p^*(x)$ の汎化誤差 G_n の大小によって、予測分布による母集団分布 $q(x)$ の予測の誤差の大小が判定される。

要するに、仮想世界におけるサンプル生成の確率分布 Z_n の汎化誤差 $G(Q_n||Z_n)$ は事前分布 $\varphi(w)$ と確率モデル $p(x|w)$ の組で構成される数学的モデル全体の良し悪しの指標になっており、予測分布の汎化誤差 $p_n^*(x)$ の汎化誤差 G_n は得られたサンプルの次に何が出るかの予測の誤差の指標になっていると考えられる。

4.2 (1)型情報量規準: 自由エネルギー

確率密度関数 $Q_n = q(x_1) \cdots q(x_n)$ で定義される確率分布で生成されるサンプル $X^n = (X_1, \dots, X_n)$ について、

$$F_n = -\log Z(X_1, \dots, X_n)$$

を(Bayes統計における)自由エネルギーと呼ぶ。(これは逆温度 $\beta = 1$ の自由エネルギーである。)

4.2.1 自由エネルギーと(1)型汎化誤差の関係

前節の結果より、サンプル X_1, \dots, X_n を動かすことによる自由エネルギーの平均は Z_n による Q_n の予測に関する汎化誤差に一致する:

$$E_{X^n \sim Q_n}[F_n] = G(Q_n||Z_n).$$

我々が知りたい汎化誤差は自由エネルギー F_n のサンプルを動かす平均だが、現実にはサンプルを無限に繰り返し得ることは不可能である。そもそも無数にサンプルが得られるなら、無数に得られたサンプルを利用していくらかでも正確な推定が可能になってしまう。ゆえに、我々が知りたい汎化誤差 $E_{X^n \sim Q_n}[F_n] = G(Q_n||Z_n)$ を我々は知ることができない。

4.2.2 自由エネルギーの漸近挙動

しかし、渡辺澄夫著『ベイズ統計の理論と方法』の第4章定理10(p.112)によって、自由エネルギーは

$$F_n = nL_n(w_0) + \lambda \log n - (m-1) \log \log n + O(1)$$

型の漸近挙動を持つ。 λ は実対数関値と呼ばれるモデルの実双有理不変量であり、 λ が大きければ大きいほど $\lambda \log n$ の項の分だけ自由エネルギーは大きくなり易くなる。

4.2.3 自由エネルギーは情報量規準として利用可能

ゆえに、自由エネルギーの平均 $E_{X^n \sim Q_n}[F_n] = G(Q_n||Z_n)$ の代わりに、自由エネルギーの実現値 F_n の大小で数学的モデル全体の良し悪しを判定することが実用的である可能性が高いことがわかる。なぜならば、

$$F_n = nL_n(w_0) + \lambda \log n - (m-1) \log \log n + O(1)$$

における確率的に揺らぐ成分を $O(1)$ に押し付けることができるからである。 $L_n(w_0)$ は大数の法則より、確率モデル $p(x|w)$ の汎化誤差の最小値 $n \rightarrow \infty$ で $G(w_0) = \int q(x)(-\log p(x|w_0)) dx$ に収束することにも注意せよ。

4.2.4 正則モデルの場合

正則モデルの仮定のもとで $\lambda = d/2$ (d はパラメーター $w = (w_1, \dots, w_d)$ の個数), $m = 1$ となり、

$$F_n = nL_n(w_0) + \frac{d}{2} \log n + O(1)$$

となることが知られている(上掲書3.6.1)。

正則モデルのケース(特に正規分布モデルなどの指数型分布族モデルの場合)には、モデルのパラメーターの個数が多ければ多いほど、自由エネルギーは項 $(d/2) \log n$ の項の分だけ大きくなり易くなる。

このことはパラメーターの多いモデルを不利にする。

4.2.5 自由エネルギーに関する結論

結論: 自由エネルギー F_n (の実現値)はベイズ統計の数学的モデル全体の良し悪しを判定するために使える。□

注意: 特別な場合を除いて、自由エネルギー $F_n = -\log Z(X_1, \dots, X_n)$ の直接の計算は非常に大変である。様々な近似計算法が開発されている(WBIC, bridge samplings, ...) □

注意: 情報量規準に関する伝統的な慣習によって, F_n やその近似値ではなく, その2倍 $2F_n$ を使用することが多い. この点は自由エネルギーもしくはその近似値を計算してくれるパッケージを利用するときには注意しなければならない. □

4.2.6 自由エネルギーの漸近挙動の証明法

渡辺澄夫著『ベイズ統計の理論と方法』の第4章で自由エネルギー F_n の漸近挙動の証明では本質的に**広中の特異点解消定理**が使われている.

広中の特異点解消定理は標数0の代数幾何学における非常に深い数学的結果であるが, M. Atiyah の次の論文によって, 特異点解消定理は具体的な積分の計算にも役に立つことが知られていた:

- M. F. Atiyah, Resolution of Singularities and Division of Distributions, 1970. <https://doi.org/10.1002/cpa.3160230202> (<https://doi.org/10.1002/cpa.3160230202>)

この方法は, 柏原正樹によるb函数の代数解析的研究でも使われている.

- 柏原正樹, 代数解析概論, 岩波書店, 2000-03-28 ([Amazon \(https://www.amazon.co.jp/dp/4000056514\)](https://www.amazon.co.jp/dp/4000056514)) の第6章

渡辺澄夫は特異点解消定理を使った積分の具体的な計算法をBayes統計の場合に適用して, 自由エネルギーの漸近挙動を証明した.

4.3 (2)型情報量規準: 予測分布の汎化誤差の推定量

予測分布 $p_n^*(x)$ による母集団分布 $q(x)$ の予測に関する汎化誤差

$$G_n = G(q||p_n^*) = \int q(x)(-\log p_n^*(x)) dx.$$

についても様々な推定量が定義されている.

ただし, $n \rightarrow \infty$ の極限でも, 推定量の大小関係で汎化誤差 G_n の大小関係を正しく判定できない確率が0に収束しない場合が出て来てしまう.

4.3.1 学習誤差と過学習の定義

予測分布の対数尤度の $-1/n$ 倍

$$T_n = \frac{1}{n} \sum_{k=1}^n (-\log p_n^*(X_k))$$

を**学習誤差** (training error)と呼ぶことにする. 学習誤差は予測分布がサンプル X_1, \dots, X_n にどれだけ適合しているかを表している. (学習誤差が小さいほど, 予測分布がサンプルに適合している.)

推定用のモデルを変えたときに, 学習誤差 T_n が小さくなったのに汎化誤差 G_n が大きくなるとき, モデルを変えたことによって**過学習**が起こったということにする.

モデルのパラメーターを余計に増やすと過学習が起こることがある.

4.3.2 汎函数分散の定義

ベイズ統計の予測分布は事後分布に関する平均を

$$E^*[f(W)] = \int \psi^*(w)f(w) dw$$

と書くと, $p^*(x) = E^*[p(x|W)]$ と書ける. ゆえに学習誤差 T_n は

$$T_n = \frac{1}{n} \sum_{k=1}^n (-\log E^*[p(X_k|W)])$$

と書ける. 汎函数分散 V_n を次のように定義する(渡辺澄夫著『ベイズ統計の理論と方法』p.117, 定義22):

$$V_n = \sum_{k=1}^n (E^*[(\log p(X_k|W))^2] - E^*[\log p(X_k|W)]^2).$$

これは $\log p(X_k|w)$ の事後分布 $\psi^*(w)$ に関する分散を k について足し合わせたものになっている.

4.3.3 WAIC (widely applicable information criterion)

waic_n が次のように定義される(渡辺澄夫著『ベイズ統計の理論と方法』p.118, 定義23):

$$\text{waic}_n = T_n + \frac{V_n}{n}.$$

waic_n と汎化誤差 G_n のサンプルを動かす平均は $O(1/n^2)$ の誤差を除いて一致する(上掲書p.180, 注意66).

waic_n はその大小で汎化誤差 G_n の大小を推測するために使われる情報量規準の1つである.

注意: 統計学での伝統では, AICやBICなどのスケールは上の waic_n の $2n$ 倍になっている. そのスケールは対数尤度比に関するカイニ乗検定相性がよい. そのスケールでのWAICを WAIC_n と書くことにする:

$$\begin{aligned}\text{WAIC}_n &= 2nT_n + 2V_n \\ &= -2 \sum_{k=1}^n \log E^*[p(X_k|W)] + 2 \sum_{k=1}^n (E^*[(\log p(X_k|W))^2] - E^*[\log p(X_k|W)]^2).\end{aligned}$$

このスケールでのAICの定義は

$$\text{AIC}_n = -2 \sum_{k=1}^n \log p(X_k|\hat{w}) + 2d.$$

ここで d はモデルのパラメーターの個数である. WAICではパラメーターの個数が汎函数分散になっている. \square

注意: 前節の結果より, WAICは $\log p(X_k|W)$ のデータから計算される. ここで, W は事後分布に従う確率変数であり, 十分に長い事後分布のサンプルで代替可能である. MCMC法によって事後分布のサンプルを作れるので, MCMC法でWAICを近似計算できる. \square

4.3.4 LOOCV (leave-one-out cross validation, 1個抜き出し交差検証)

サンプル X_1, \dots, X_n から X_k を除いて得られるサイズ $n-1$ のサンプルから得られる予測分布は

$$p_n^{(k)}(x) = \frac{Z(X_1, \dots, x, \dots, X_n)}{Z(X_1, \dots, \widehat{X}_k, \dots, X_n)}$$

(\widehat{X}_k は k 番目の X_k を除くの意味で, x は k 番目)と書けるので, 最初に除いた X_k に関する $p_n^{(k)}(x)$ の尤度は

$$\begin{aligned}p_n^{(k)}(X_k) &= \frac{Z(X_1, \dots, X_k, \dots, X_n)}{Z(X_1, \dots, \widehat{X}_k, \dots, X_n)} \\ &= \left(\int \psi^*(w) p(X_k|W)^{-1} dw \right)^{-1} = E^*[p(X_k|W)^{-1}]^{-1}\end{aligned}$$

になる. これの対数の -1 倍の k に関する加法平均およびその $2n$ 倍

$$\text{loocv}_n = \frac{1}{n} \sum_{k=1}^n \log E^*[p(X_k|W)^{-1}], \quad \text{LOOCV}_n = 2 \sum_{k=1}^n \log E^*[p(X_k|W)^{-1}]$$

をLOOCV (leave-one-out cross validation, 1個抜き出し交差検証)と呼ぶ. 交差検証には他にも様々な種類のものがあるが, 予測分布を作るときに可能な限りサンプルサイズを大きくした場合の交差検証はこれになる.

各々の $-\log p_n^{(k)}(X_k)$ のサンプルを動かす平均はサンプルサイズ $n-1$ の場合の汎化誤差 G_{n-1} の平均に等しいので, loocv_n と汎化誤差 G_{n-1} のサンプルを動かす平均は等しい.

loocv_n もその大小で汎化誤差 G_n の大小を推測するために使われる情報量規準の1つである.

注意: LOOCVもWAICと同様に, $\log p(X_k|W)$ のデータから計算される. ここで, W は事後分布に従う確率変数であり, 十分に長い事後分布のサンプルで代替可能である. MCMC法によって事後分布のサンプルを作れるので, MCMC法でLOOCVを近似計算できる.

4.3.5 (2)型情報量規準と汎化誤差の逆相関

モデル $p(x|w)$ の汎化誤差を $G(w) = \int q(w)(-\log p(x|w)) dx$ と定義したのであった.

定理: (渡辺澄夫著『ベイズ統計の理論と方法』p.119, 定理15)

$$(G_n - G(w_0)) + (\text{waic}_n - L_n(w_0)) = \frac{2\lambda}{n} + o_p\left(\frac{1}{n}\right). \quad \square$$

左辺が差ではなく、和になっていることに注意せよ。この定理は大雑把に言えば汎化誤差をWAIC漸近的に**逆相関**するというのである。

注意: $G(w_0) = G(q||p(\cdot|w_0))$ と $L_n(w_0) = (1/n) \sum_{k=1}^n (-\log p(X_k|w_0))$ はそれぞれパラメーターの個数が 0 個の確率モデル $p(x|w_0)$ の予測分布 $p(w|w_0)$ の汎化誤差とWAICだとみなされる。(汎函数分散の項は無くなる。) このように解釈すれば、上の定理はモデルのパラメーター空間を制限して得られる確率モデルとの汎化誤差とWAICの差に関する結果に一般化できそうだと予想できる。□

上の定理の結果の全体を $2n$ 倍すると、

$$2n(G_n - G(w_0)) + (WAIC_n - 2nL_n(w_0)) = 4\lambda + o_P(1).$$

この結果は $2n(G_n - G(w_0))$ と $WAIC_n - 2nL_n(w_0)$ の和が実対数閾値 λ の4倍に $n \rightarrow \infty$ で近付くことを意味している。 $2n(G_n - G(w_0))$ と $WAIC_n - 2nL_n(w_0)$ の揺らぎの方向は漸近的に正反対になる。この結果は数値実験でもよく再現される。

警告: このように汎化誤差とWAICには逆相関する傾向があるので、汎化誤差が小さくなり過ぎると、WAICの側が大きくなり過ぎて、WAICの大小で汎化誤差の大小を推測することに失敗する場合が出て来ってしまう! このことも数値実験でよく再現される。□

注意: WAICやLOOCVのような(2)型の情報量規準は予測分布の汎化誤差の推定量としてぎりぎりの線を攻めることによって得られていると考えられる。それらはそういう「精密機器」であることを意識して使うべき道具である。もしも汎化誤差との逆相関の問題が解決されれば、予測分布の性能を比較するための強力な方法が得られることになる。しかし、WAICやLOOCVのような非常に素性が良さそうな情報量規準で逆相関の問題が発生していることから、それは不可能なことなのかもしれない。□

5 Bayes統計の計算例

他のノートブックを参照せよ。例えば、

- [DynamicHMCEXamples for DynamicHMC.jl v2.0.0](https://nbviewer.jupyter.org/github/genkuroki/Statistics/blob/master/DynamicHMCEXamples%20for%20DynamicHMC.jl%20v2.0.0.ipynb)

(<https://nbviewer.jupyter.org/github/genkuroki/Statistics/blob/master/DynamicHMCEXamples%20for%20DynamicHMC.jl%20v2.0.0.ipynb>)

特にこのノートにおける線形回帰でベイズ統計と最尤法(MLE)を比較しているプロットに注目。サンプルサイズが小さいせいで推定が全然収束していない状況なのに、MLEの予測分布は「くっきり」していることに注目。ベイズ統計の方の予測分布はぼやけており、推定の収束してなさ具合がわかるようになっている。

- [3種の簡単な統計モデルのベイズ統計の比較 n=128](https://nbviewer.jupyter.org/github/genkuroki/Statistics/blob/master/Comparison%20the%20mixnormal%2C%20normal1%2C%20and%20normal2%20models.ipynb)

(<https://nbviewer.jupyter.org/github/genkuroki/Statistics/blob/master/Comparison%20the%20mixnormal%2C%20normal1%2C%20and%20normal2%20models.ipynb>)

このノートブックの内容を理解できれば、WAICのような予測分布の情報量規準によるモデル選択がどのように失敗してしまうかについての理解が深まる。

▶ In []:

1